

ОРГАНИЧЕСКОЕ ВЕЩЕСТВО В ОСАДКАХ НОРВЕЖСКОГО МОРЯ И УСЛОВИЯ ЕГО НАКОПЛЕНИЯ

Т. И. ГОРШКОВА

Приступая к изучению органического вещества осадков Норвежского моря, мы ставили перед собой задачу выяснить условия накопления органического вещества по всей площади моря в настоящее время и в более древние времена, для чего изучали различные слои колонок.

В Норвежском и Гренландском морях исследование органического вещества осадков мы начали в 1934 г. по материалам, собранным на э/с «Персей» [7]. Для данного исследования использованы пробы донных отложений, полученные сотрудниками ВНИРО и ПИНРО во время экспедиций на э/с «Профessor Месяцев» в 1954 и 1955 гг. и главным образом на э/с «Севастополь» в 1957—1959 гг. во время рейсов по плану Международного геофизического года и года Международного геофизического сотрудничества. Пробы осадков собирали дночерпателем «Океан 50» с площадью раскрытия $0,25 \text{ м}^2$ и ударными трубками длиной 1,5 и 4 м. В распоряжении автора было более 300 проб, полученных с помощью трубок, и около 150 проб, собранных дночерпателем.

Так как накопление органического вещества в осадках зависит от их механического состава, который, в свою очередь, зависит от рельефа дна, то, прежде чем говорить о накоплении органического вещества в осадках, остановимся на рельефе дна и механическом составе осадков Норвежского моря.

Во время экспедиций ПИНРО рельеф дна определяли по счетчику лебедки и эхолотом. На основании данных, полученных для каждой станции, В. М. Литвин составил батиметрическую карту Норвежского моря [5]. В настоящей работе мы приводим несколько упрощенную батиметрическую карту с указанием номеров станций, на которых определяли органическое вещество осадков (рис. 1).

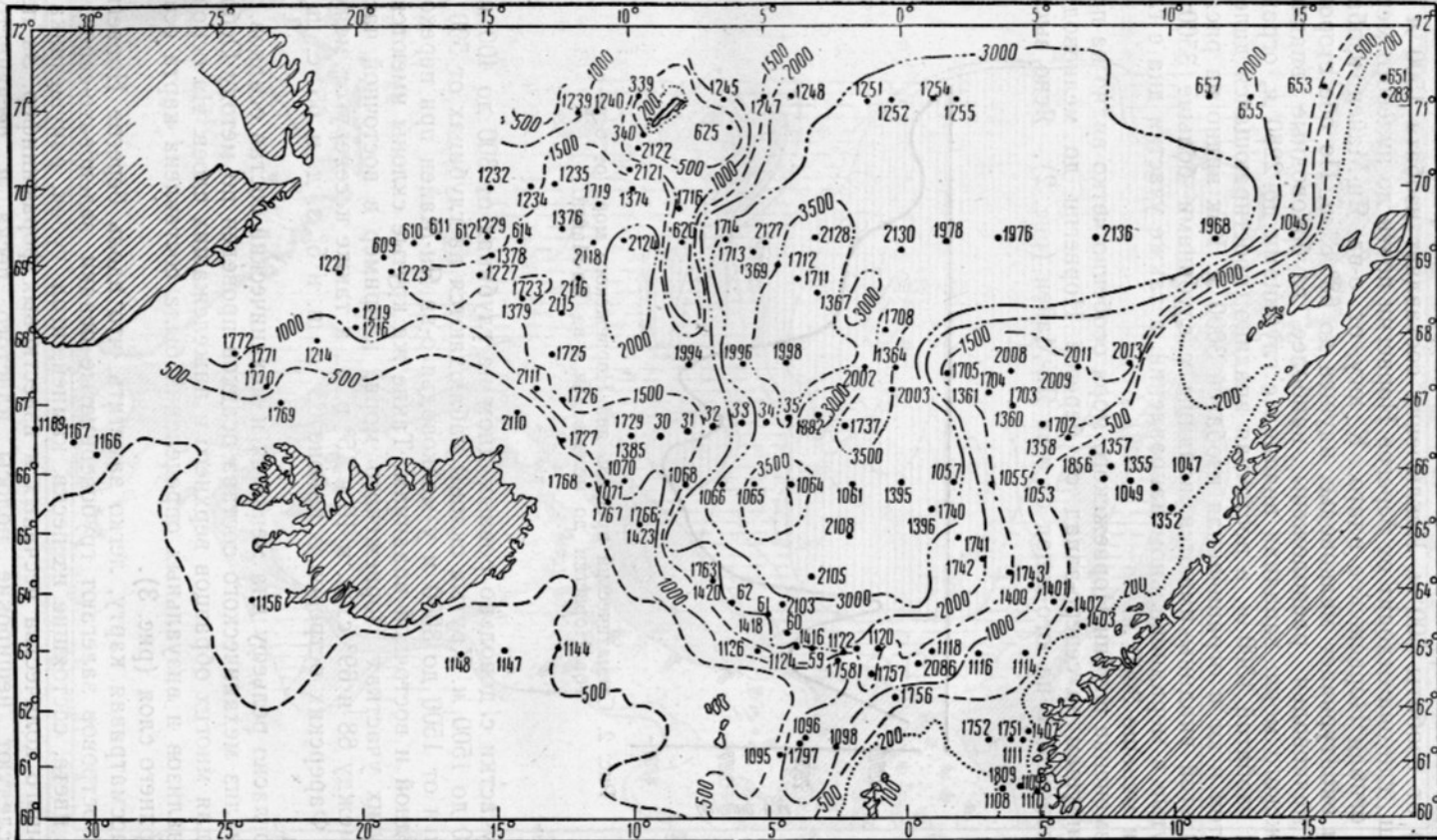


Рис. 1. Карта станций и изобат Норвежского моря.

При рассмотрении этой карты видно, что вдоль побережья Норвегии и всех островов расположено мелководье с глубинами меньше 500 м. Изобаты 1000 и 1500 м во многих районах расположены очень близко от изобаты 500 м. Исключение составляет изобата 1500 м по 68° с. ш., где она отходит от берегов Норвегии почти до нулевого меридиана, огибая Норвежское плато. К югу от о-ва Ян-Майен изобата 1500 м оконтуривает мелководье, идущее до 68° с. ш. По обе стороны этого мелководья расположены наиболее глубоководные впадины Норвежского моря: западная впадина с глубинами до 2280 м, ограниченная изобатой 1500 м, и восточная впадина, простирающаяся далеко на восток и юг и ограниченная изобатой 3000 м. Как видно на рис. 1, внутри этой впадины имеются впадины с глубинами больше 3500 м, вытянутые в меридиональном направлении, а также участки дна с глубинами меньше 3000 м.

Изменение глубин Норвежского моря особенно четко видно на профиле, идущем на северо-запад от берегов Норвегии до мелководья, расположенного на юго-запад от о-ва Ян-Майен (рис. 2). Ясно высту-

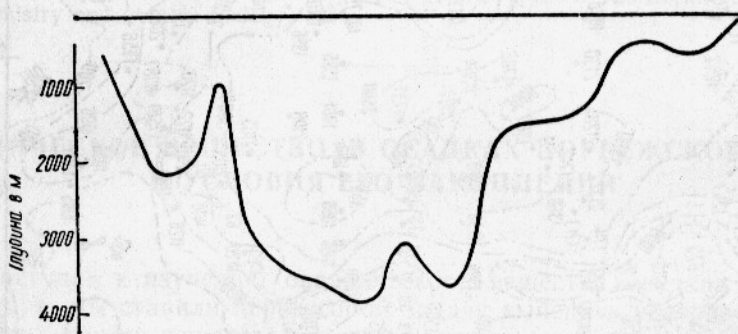


Рис. 2. Схематический профиль дна Норвежского моря от берегов Норвегии до мелководья о-ва Ян-Майен.

пают участки с довольно ровным дном на глубинах от 300 до 400 м и от 1000 до 1500 м. Крутые склоны наблюдаются на глубинах от 500 до 1000 м и от 1500 до 3000 м у мелководья о-ва Ян-Майен при переходе к западной и восточной впадинам. Такие же крутые склоны имеются и на других участках Норвежского моря, например в восточной части моря между 68° и 69° с. ш. и 10° и 15° в. д., а также к северу от мелководья Фарерских островов в районе 63° с. ш. и 5° з. д. и 65° с. ш. и 9° з. д.

Согласно рельефу дна меняется и механический состав осадков.

Анализ механического состава осадков проведен по методу Осборна [9] для многих образцов верхнего и нижележащих слоев. На основании анализов и визуальных определений была составлена карта осадков верхнего слоя (рис. 3).

Рассматривая карту, легко заметить, что вдоль берегов Норвегии и всех островов залегают грубозернистые осадки зеленовато-серого и серого цвета, состоящие из песка, камней, игол губок, ракушечника и небольшого количества песчаных и известковых фораминифер. За песками следуют неширокие полосы илистого песка и песчанистого ила.

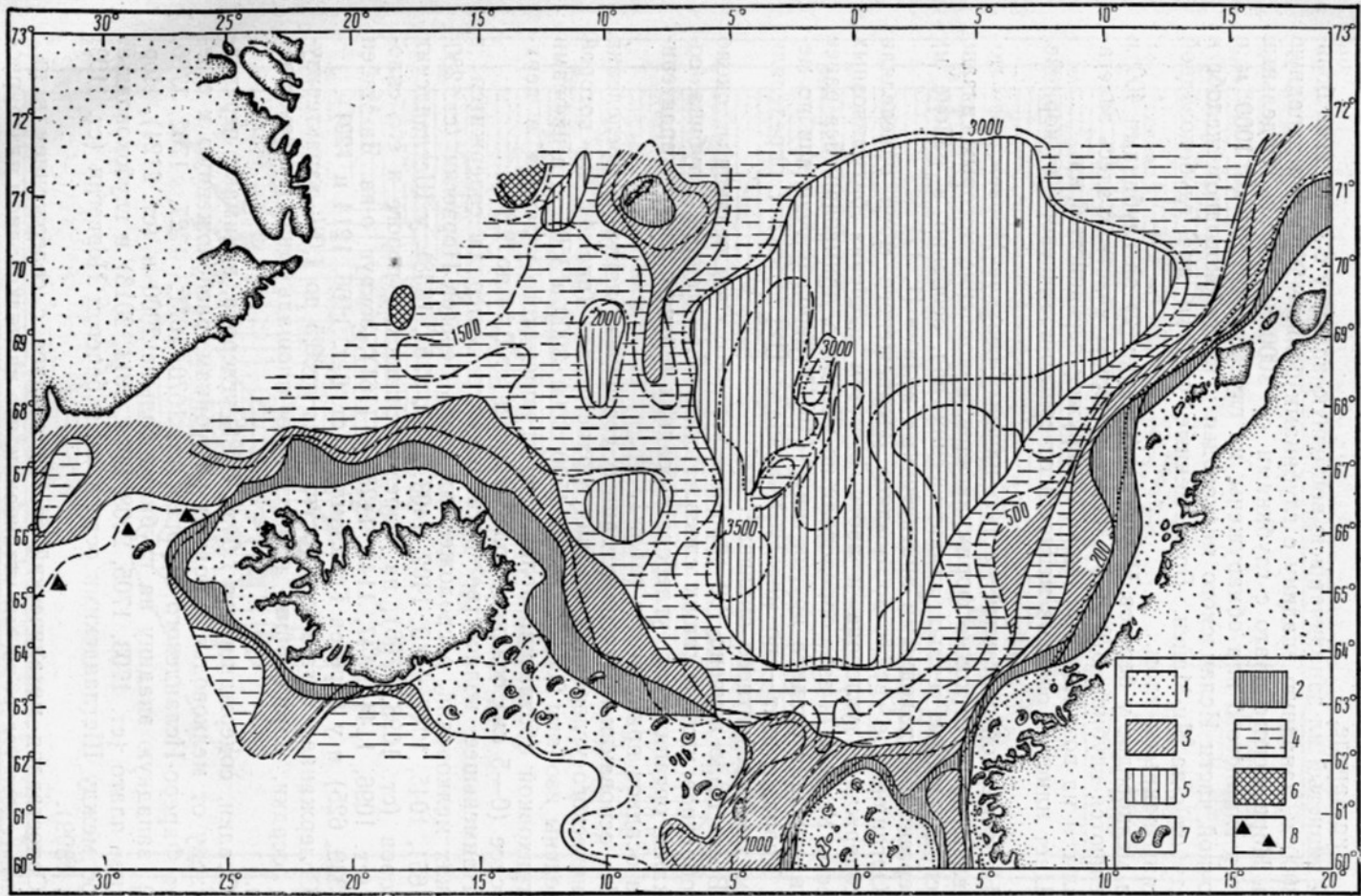


Рис. 3. Схема распределения осадков Норвежского моря:

1 — песок; 2 — илистый песок (фракция <0.01 мм 5—10%); 3 — песчанистый ил (фракция <0.01 мм 10—30%); 4 — ил (фракция <0.01 мм больше 50%); 5 — глинистый ил (фракция <0.01 мм больше 50%); 6 — глина; 7 — ракушка; 8 — гравий

Илы занимают значительную площадь на востоке и на западе, где они залегают преимущественно на глубинах до 3000 м на востоке и до 2000 м на западе.

Глинистый ил заполняет всю восточную впадину с глубинами больше 3000 м, западную впадину с глубинами больше 2000 м и западную часть Норвежского плато с глубинами от 1000 до 1500 м. Отдельные участки глинистого ила обнаружены на глубинах от 500 до 1000 м в восточной части Исландского мелководья и в глубоководном желобе к западу от о-ва Ян-Майен. Возвышенные участки дна глубоководной впадины покрыты илом.

На мелководье у берегов Норвегии (см. рис. 2) за глубинами 400 м встречаются глубины 370 м. На более глубоких участках здесь залегают илы, а на возвышенных снова обнаружен песчанистый ил.

Цвет илистых осадков меняется от светло-коричневого до коричневого.

Непременной составной частью илистых осадков Норвежского моря являются известковые фораминиферы, накопление которых связано с распределением теплых атлантических вод, особенно в районе их конвергенции с холодными арктическими водами [1, 11].

Органическое вещество осадков Норвежского моря определяли по содержанию углерода и азота и путем изучения битуминозных веществ. Углерод и азот определяли по методике, применявшейся ранее и при изучении осадков других морей [10]. Углерод определяли по методу Кнопа, а азот — по методу Кельдаля [12]. Битумы определяли путем люминесцентного анализа¹.

Всего было изучено 180 образцов верхнего слоя осадков и около 200 образцов нижележащих слоев. Положение станций, глубина, содержание органического углерода в осадках верхнего слоя и характеристика осадков приведены в табл. 1.

На основании полученных данных составлена карта распределения органического углерода в осадках верхнего слоя (рис. 4), на которой проведены изобаты 200, 500, 1000, 1500, 2000, 3000 и 3500 м, а цифрами и штриховкой обозначено количество органического углерода в верхнем слое (0—5 см) осадков, колеблющееся от 0,14 до 1,8%.

Наименьшее количество органического углерода содержится в осадках мелководий, расположенных вдоль берегов Норвегии (ст. 280, 283, 651, 1045, 1047, 1110, 1402, 1403, 1751, 1357, 1358), у Шетландских островов (ст. 1098, 1765), на Фареро-Исландском пороге и его склонах (ст. 1096, 1144, 1147, 1148, 1423 и 1761), вокруг о-ва Ян-Майен (ст. 339, 625) и у берегов Гренландии (ст. 611, 1166, 1214 и 1221).

Содержанием органического углерода от 0,5 до 1,0% характеризуются осадки, занимающие наибольшую площадь дна Норвежского моря.

Осадки, содержащие от 1,0 до 1,5% углерода, занимают переходную зону от мелководья к большим глубинам, расположенную к северу от Фареро-Исландского порога (ст. 1070, 1071, 1727, 1762, 1766, 1767), западную впадину на глубинах больше 2000 м (ст. 2124), Норвежское плато (ст. 1703, 1705, 2008, 2009, 2011, 2013) и глубоководный желоб между Шетландскими островами и берегом Норвегии (ст. 1109, 1111, 1809).

Сопоставляя механический состав осадков с содержанием в них органического углерода, мы установили, что на мелководном плато, рас-

¹ Люминесцентный анализ производили в лаборатории Арктического и Антарктического института.

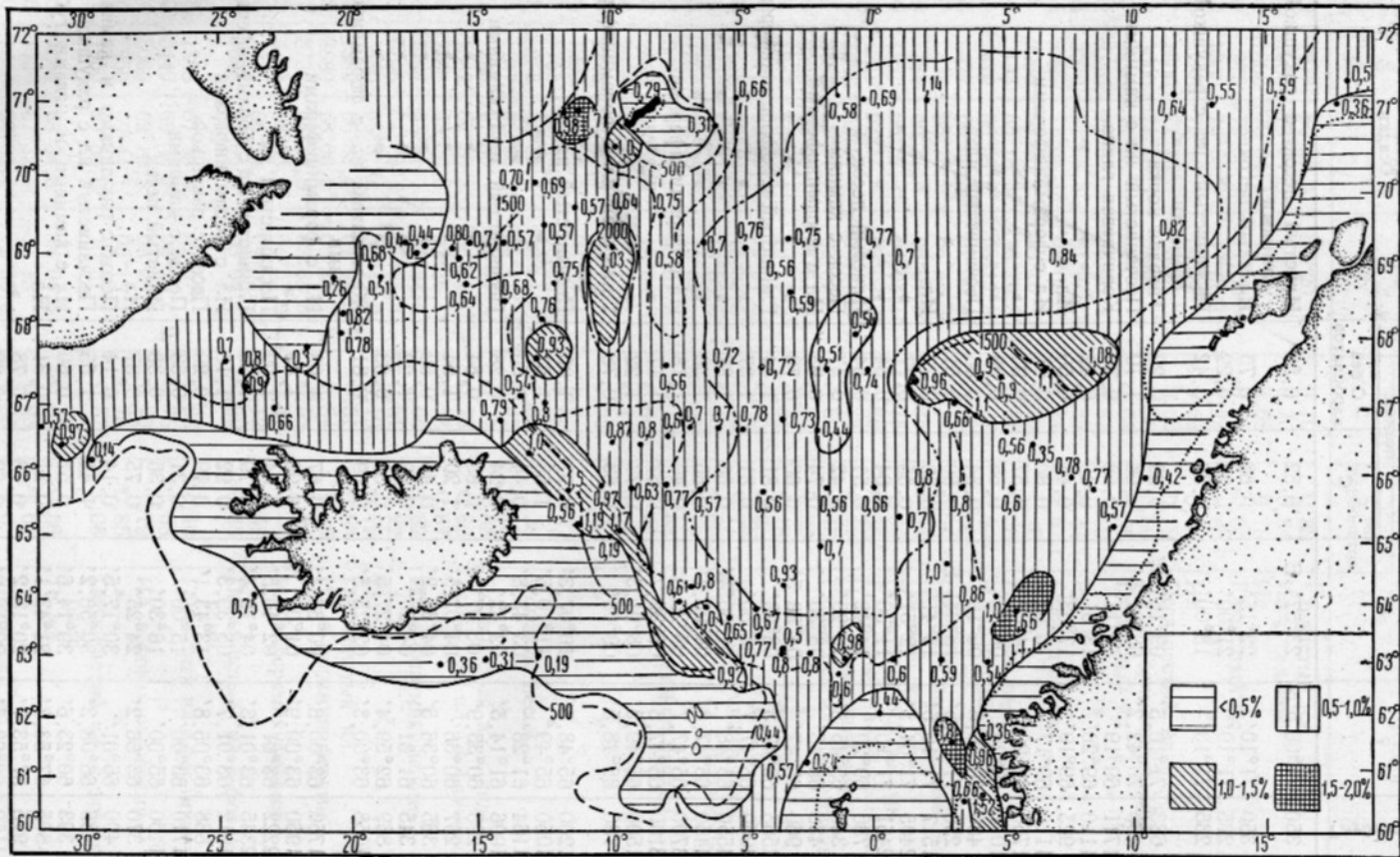


Рис. 4. Схема распределения органического углерода в верхнем слое осадков Норвежского моря.

Таблица 1

Номер станции	Глубина в м	φ	λ	Содержание органического углерода в % на абсолютно сухой осадок		Осадки
				С	С без карбонатов	
277	350	71°09,5' N	23°57' E	0,52	0,58	Илистый песок с ракушкой и камнями
279	350	71°10'	22°15'	0,69	0,70	Илистый песок
280	205	71°10'	21°00'	0,25	0,29	» »
283	235	71°10'	18°00'	0,36	0,42	Песчанистый ил с ракушкой и камнями
339	683	71°10,5'	09°16' W	0,29	0,29	Твердая корка
340a	130	70°42,7'	08°57,5'	0,96	1,10	Песчанистый ил с камнями
609	1711	69°19'	19°11'	0,68	0,70	Коричневая глина
610	1110	69°20'	18°0'	0,40	0,42	» »
611	925	69°19'	17°03'	0,44	0,50	Ил
612	1110	69°17'	16°02'	0,80	0,91	Ил с фораминиферами
614	1750	69°20'	14°00'	0,57	0,93	» »
620	1017	69°20'	08°00'	0,58	0,98	» »
625	480	70°46,6'	06°18'	0,34	0,36	Песчанистый ил
651	256	71°16,5'	18°04' E	0,50	0,51	» »
653	1517	71°16,5'	15°41'	0,59	0,70	Ил
655	2405	71°04,5'	12°51'	0,55	0,77	»
657	2451	71°10'	11°30'	0,64	0,84	»
1045	786	69°20'	14°42'	0,51	0,54	Илистый песок
1047	346	65°45,5'	10°20'	0,42	0,47	Песок с камнями
1049	438	65°45'	08°30'	0,74	0,93	Ил с фораминиферами
1053	960	65°47'	04°56,5'	0,66	0,78	» »
1055	1565	65°47,3'	03°23'	0,81	1,44	Глинистый ил с фораминиферами
1057	4000	65°47,7'	05°50'	0,81	1,37	» » »
1061	4550	65°48'	01°50' W	0,56	1,37	
1064	4450	65°47,8'	04°05,7'	0,56	1,38	
1065	3700	65°47,7'	05°29,9'	0,40	1,18	Ил с фораминиферами
1066	3100	65°47,6'	06°32,7'	0,57	1,17	» »
1068	1500	65°49,3'	08°01,3'	0,77	1,22	» »
1069	780	65°48,5'	09°08'	0,63	0,78	Глинистый ил с фораминиферами
1070	1200	65°48,5'	10°07,3'	0,97	1,00	Песчанистый ил
1071	1050	65°49'	11°10,5'	1,55	1,57	» »
1096	1164	61°28'	03°43,8'	0,44	0,50	» »
1098	1096	61°14,5'	02°42'	0,24	0,28	Песчанистый ил с камнями
1108	295	60°35,9'	03°27' E	0,65	0,84	» » »
1109	297	60°36'	04°07,5'	1,20	1,54	» » »
1110	365	60°36,5'	04°35,2'	0,46	0,50	» » »
1111	345	61°31'	04°20'	0,99	1,22	» » »
1114	869	62°59,4'	04°27,5'	0,54	0,63	» » »
1116	1058	63°00,3'	02°25,5'	0,59	0,81	Желтоватый ил с фораминиферами
1118	1750	63°00,6'	00°38,4'	0,67	1,03	Ил с фораминиферами
1120	1950	63°00,9'	01°09' W	0,98	1,43	» »
1122	2222	63°01'	02°40,5'	0,84	1,09	Песчанистый ил
1124	2345	63°01,3'	04°12,4'	0,79	1,28	Глинистый ил с фораминиферами
1126	1912	63°01,7'	05°39,3'	0,92	1,16	Ил с фораминиферами
1144	638	63°06,8'	13°43,1'	0,19	0,20	Песок с ракушкой
1147	1710	63°00'	15°00'	0,31	0,33	Песок с камнями
1148	1400	65°00'	16°30'	0,36	0,38	Илистый песок
1156	370	63°56,2'	24°25'	0,75	0,87	Ил
1166	400	66°01'	30°17,5'	0,14	0,14	Песок с ракушками и камнями
1167	435	66°08,3'	30°56,2'	1,44	1,55	Песчанистый ил с ракушкой
1169	393	60°23,6'	39°14,6'	0,57	0,60	Ил с камнями и иглами губок
1214	805	67°53,7'	21°43,1'	0,31	0,31	Ил
1216	975	67°53,7'	20°15,2'	0,78	0,78	»
1219	1150	68°23,5'	20°16,9'	0,82	0,82	»
1221	1430	68°57,8'	20°10'	0,26	0,26	Глина
1223	1200	68°33,6'	18°53,9'	0,51	0,51	Ил
1227	1480	68°50,1'	15°26,5'	0,64	0,80	Ил с фораминиферами

Продолжение табл. 1

Номер станции	Глубина в м	φ	λ	Содержание органического углерода в % на абсолютно сухой осадок		Осадки
				C	C без карбонатов	
1229	1277	69°23,4'	15°20'	0,70	0,83	Глинистый ил
1234	1360	70°04'	14°52'	0,70	0,84	Ил с галькой
1235	1600	70°04,4'	12°46'	0,69	0,79	Ил
1239	976	70°58,6'	11°56'	0,98	0,98	Глинистый ил
1240	1360	70°58,3'	11°05'	1,74	1,82	» »
1245	1285	71°10'	06°30'	0,62	0,66	Ил
1247	1500	71°10'	05°0'	0,66	0,79	Песчанистый ил
1248	3000	71°10'	04°01'	0,50	0,60	Ил с фораминиферами
1251	3430	71°08'	01°5,5'	0,58	0,96	Глинистый ил
1252	3170	71°07,1'	00°06,2'	0,69	1,13	» »
1254	3370	71°06,3'	01°9,8'	0,39	0,44	Ил
1255	3325	71°06,1'	02°00'	1,14	2,27	Глинистый ил
1351	2265	69°20'	13°10'	1,09	1,46	Ил
1352	193	65°18,3'	10°29,3' E	0,57	0,68	Илистый песок
1355	410	65°59,9'	08°17,8'	0,77	0,99	Ил с иглами губок
1356	427	66°05,3'	07°30,4'	0,78	1,00	» » »
1357	335	66°16,1'	06°46,3'	0,32	0,36	Илистый песок с гравием
1358	754	66°27,5'	06°01,5'	0,35	0,38	Песчанистый ил
1360	1251	66°57,4'	04°03,1'	0,78	1,06	Ил с фораминиферами
1361	1248	67°11,8'	03°03,7'	0,66	0,88	Глинистый ил с фораминиферами
1364	3581	67°53,4'	00°01,3' W	0,45	1,61	Ил с фораминиферами
1367	3733	68°34,1'	02°57'	0,59	1,45	Глинистый ил с фораминиферами
1369	3380	69°01,7'	04°51,7'	0,59	1,25	» » »
1374	1847	70°02,1'	10°15,3'	0,64	1,18	» » »
1376	1817	69°29,1'	12°54,5'	0,40	0,80	» » »
1378	1473	68°54,5'	15°33,5'	0,62	0,77	Ил с фораминиферами
1379	1437	68°21,5'	14°53,5'	0,68	0,80	Глинистый ил с фораминиферами
1385	1363	66°35'	10°04'	0,85	1,12	» » »
1392	3628	66°28,9'	03°01,5'	0,73	1,64	Ил с фораминиферами
1395	2863	65°33,5'	10°00' E	0,66	1,41	» »
1396	2955	65°14'	01°10,5'	0,71	1,29	» »
1398	2276	64°35,9'	03°11'	1,05	1,30	» »
1400	1299	64°06,5'	04°40,1'	1,01	1,24	» »
1401	755	63°53,2'	05°20,4'	1,66	2,24	» »
1402	258	63°39,4'	06°01'	0,35	0,36	Илистый песок
1403	267	63°25,7'	06°41'	0,42	0,45	» »
1407	299	61°30'	04°21,5'	0,72	0,88	Песчанистый ил с иглами губок
1414	1682	62°28,3'	01°44,6' W	0,73	0,82	Глинистый ил с фораминиферами
1416	2390	63°06,5'	03°36,7'	0,58	0,87	» » »
1418	2746	63°41'	05°24,6'	0,65	1,62	Ил с фораминиферами
1420	2705	64°13'	07°05,4'	0,61	1,22	» »
1423	680	65°3,7'	09°44,2'	0,19	0,19	Глина
1702	1385	66°38,5'	04°59,9' E	0,51	0,58	Песчанистый ил
1708	3680	68°00,9'	00°46,3' W	0,54	1,45	Ил с фораминиферами
1711	3730	68°39,5'	03°38,3'	0,56	1,24	Ил
1712	3705	68°53,5'	04°33,9'	0,37	—	Ил с фораминиферами
1703	1345	66°54,7'	04°02' E	1,12	1,51	» »
1704	1385	67°06,6'	03°04'	0,66	0,88	Песчанистый ил с фораминиферами
1705	1385	67°19,9'	02°07'	0,96	1,40	Глинистый ил с фораминиферами
1713	3440	69°06,7'	05°29,7' W	0,75	1,63	» » »
1714	3060	69°19,5'	06°25,1'	0,70	1,19	Ил с фораминиферами
1716	950	69°44,1'	08°15,1'	0,75	0,85	» »
1719	1950	69°53,0'	10°51,1'	0,57	1,08	Песчанистый ил с фораминиферами
1723	1280	68°34,8'	14°04,8'	0,67	0,86	То же
1725	1730	67°32,1'	13°15'	0,93	1,61	»
1726	1600	67°01,1'	12°35,4'	0,83	1,0	Глинистый ил
1727	1250	66°32,5'	12°01,6'	1,05	1,05	Ил
1729	1480	66°35,7'	10°04,4'	0,87	1,13	Ил с фораминиферами
1730	1475	66°37,6'	09°05'	0,80	1,22	Глинистый ил с фораминиферами

Номер станции	Глубина в м	φ	λ	Содержание органического углерода в % на абсолютно сухой осадок		Осадки
				C	C без карбонатов	
1731	1490	66°39,4'	08°06,5'	0,60	0,98	Ил с фораминиферами
1732	1740	66°41,2'	07°07,2'	0,71	1,55	» »
1733	2360	66°43,0'	06°08,5'	0,72	1,46	» »
1734	3300	66°44,7'	05°10'	0,78	1,66	» »
1735	3560	66°46,3'	04°11'	0,26	0,60	» »
1737	3700	66°32'	02°14,9'	0,40	0,70	Песчанистый ил с фораминиферами
1740	3020	65°15,2'	01°07' E	1,12	2,39	Ил с фораминиферами
1742	2720	64°36'	02°50,8'	1,01	1,69	» »
1743	2015	64°24,8'	03°41,8'	0,86	1,26	» »
1751	350	61°31'	03°45'	0,36	0,39	Песчанистый ил
1752	390	61°31'	03°02'	1,80	2,23	Ил
1756	690	62°11,5'	00°26,8' W	0,44	0,50	Песчанистый ил с фораминиферами
1757	1690	62°33,3'	01°23'	0,64	0,90	То же
1758	920	62°44,4'	02°41,9'	0,73	0,82	»
1759	1810	63°01,3'	03°33,4'	0,80	0,97	Ил с фораминиферами
1760	2500	63°21,4'	04°35,1'	0,77	1,22	Глинистый ил с фораминиферами
1761	2460	63°41,9'	05°37'	0,38	0,77	Песчанистый ил с фораминиферами
1762	2870	63°57,5'	06°27,5'	1,02	2,29	То же
1763	2370	64°15'	07°25,5'	0,82	1,24	Ил с фораминиферами
1766	750	65°13'	10°00'	1,17	1,19	Песчанистый ил
1767	855	65°30'	11°00'	1,19	1,19	» »
1769	275	67°02,2'	23°00,9'	0,66	0,81	Илистый песок
1770	520	67°18'	23°33'	0,98	0,98	Песчанистый ил
1771	1150	67°38,8'	24°06'	0,84	0,84	Ил
1772	1490	67°47,4'	24°40'	0,76	0,76	»
1797	1190	61°27,8'	03°42,2'	0,57	0,65	Песчанистый ил
1809	303	60°36'	03°53,5' E	1,52	1,90	Ил
1968	3010	69°22,3'	11°53,5	0,82	1,26	Глинистый ил с фораминиферами
1976	3305	69°23,8'	03°57,2'	0,35	0,40	» » »
1978	3296	69°33,8'	01°57,5'	0,70	1,16	» » »
1994	1670	67°33,3'	07°50' W	0,56	1,55	Ил с фораминиферами
1996	3215	67°34'	05°57,4'	0,72	1,49	Глинистый ил с фораминиферами
1998	3665	67°35,1'	04°06'	0,62	1,70	» » »
2002	3030	67°30,8'	01°02'	0,51	1,66	Ил
2003	3710	67°30'	00°07' E	0,74	1,68	Глинистый ил
2008	1305	67°30'	04°15'	0,90	1,28	» »
2009	1190	67°30'	05°00'	0,90	1,29	Глинистый ил с фораминиферами
2011	1260	67°31,1'	06°47,6'	1,11	1,66	» » »
2013	1785	67°35,5'	08°44,5'	1,08	1,54	» » »
2086	1925	62°56,6'	00°19,9'	—	—	» » »
2103	2750	63°47,6'	04°36' W	0,67	1,36	Ил с фораминиферами
2105	3150	64°17,0'	03°30'	0,93	1,99	» »
2108	3130	65°00'	02°00'	0,73	1,50	Песчанистый ил с фораминиферами
2111	1055	67°16'	13°25,5'	0,51	0,52	Песчанистый ил с фораминиферами
2115	1890	68°27,7'	12°14'	0,76	1,99	То же
1768	173	65°47,5'	11°02'	0,56	0,56	Илистый песок
2116	1780	68°45'	11°56'	0,75	1,72	Песчанистый ил с фораминиферами
2118	1910	69°22'	11°11,0'	0,57	1,31	То же
2121	1370	70°14,5'	09°53,5'	0,74	1,0	Ил
2122	955	70°35'	09°38'	1,00	1,03	»
2124	2280	69°21,8'	10°05'	1,03	2,68	Глинистый ил с фораминиферами
2127	3290	69°22'	05°00'	0,76	1,52	« » »
2128	3580	69°27,7°	03°00'	0,75	1,36	Глинистый ил
2130	3320	69°12,5°	01°09,58'E	0,77	1,32	» »
2136	3210	69°21,8°	07°31'	0,84	1,51	Ил с фораминиферами
2143	2113	69°24°	14°538'	0,69	0,74	Илистый песок

положенном вдоль берегов Норвегии, содержание углерода в илистом песке колеблется от 0,25 до 0,52% (в среднем 0,37%), в песчанистом иле от 0,50 до 1,04% (в среднем 0,72%), в илах от 0,77 до 1,80% (в среднем 0,94%). На Ян-Майенском мелководье в песчанистом иле на глубине 130 м органический углерод составляет 0,96%, а на глубине 480 м — 0,34%. На мелководье у берегов Исландии и Гренландии его насчитывается в песках 0,14—0,19%, в илистом песке 0,66%, в песчанистом иле 0,83% и в иле 1,05—1,66%.

В глубоководной части Норвежского моря (более 3000 м) содержание углерода колеблется от 0,40 до 0,81% (в среднем из 17 анализов 0,64%). На глубине 2000—3000 м количество углерода изменяется от 0,55 до 1,09% (в среднем из 13 определений 0,76%). На глубинах от 1000 до 2000 м содержание углерода в илистых осадках составляет от 0,40 до 1,12% (среднее из 39 определений 0,73%). Исключение представляют собой ст. 610, 1096, 1098 и 1221, где органического углерода содержится от 0,24 до 0,44%, что, по всей вероятности, объясняется образованием этих осадков за счет размыва ледниковых глин.

Наибольшее количество органического углерода (1,74, 1,80 и 1,66%) обнаружено на ст. 1240 на глубине 1360 м, на ст. 1752 на глубине 390 м и на ст. 1401 на глубине 755 м. Причиной такого повышения органического вещества является тонкозернистость отложенных здесь осадков и большой снос органического вещества с окружающих мелководий. Так как в осадках, залегающих на глубине больше 2000 м, в большинстве случаев содержится много известковых корненожек, то процент углерода вычисляли и от бескарбонатной навески. При этом количество органического углерода в осадках глубоководных впадин

Таблица 2

Номер станции	Глубина в м	Толщина слоя в см	Содержание в %		C/N
			C	N	
609	1111	{ 0—2	0,68	0,11	6,1
		30—32	0,45	0,09	5,0
610	1110	0—4	0,40	0,07	5,7
		{ 2—4	0,44	0,07	6,3
611	925	{ 29—31	0,25	0,03	8,3
		65—68	0,22	0,04	5,5
612	1110	{ 0—3	0,80	0,104	7,6
		25—29	0,44	0,056	8,0
614	1750	0—3	0,57	0,08	7,1
620	1017	0—4	0,58	0,07	8,3
625	480	0—3	0,34	0,065	6,2
651	256	{ 0—2	0,50	0,10	5,0
		7—9	0,51	0,06	8,5
653	1517	{ 0—4	0,59	0,11	5,5
		20—23	0,53	0,076	7,0
655	2405	{ 106—109	0,57	0,079	7,2
		0—3	0,55	0,09	6,1
657	2451	43—47	0,33	0,058	6,0
		0,8	0,64	0,08	8,0
1361	1248	40—45	0,32	0,06	5,4
		0—3	0,66	0,13	5,0
1708	3680	119—139	0,73	0,13	5,6
		12—14	1,24	0,20	6,2

увеличивается до 2,6% и становится почти в два раза больше, чем в целом осадке.

Содержание азота определяли только в 23 образцах, в которых отношение C/N колебалось от 5 до 8, составляя в среднем 6,5. Полученные данные приведены в табл. 2.

Чтобы сравнить количество органического вещества в осадках Норвежского моря и других морей, мы вычислили средний процент органического углерода для осадков различных морей. Полученные данные приведены в табл. 3.

Таблица 3

Море	Содержание органического углерода в %	
	пределы колебаний	среднее
Северный Каспий	0,25—3,0	0,63
Азовское	0,6—2,96	1,63
Баренцево	0,15—3,12	1,28
Балтийское	0,05—4,69	0,98
Белое	0,09—2,92	1,14
Норвежское (все море)	0,14—1,80	0,71
Норвежское море на глубине в м:		
более 3000	0,40—0,81	0,69
3000—2000	0,55—1,09	0,76
2000—1000	0,44—1,12	0,73
1000—500	0,19—1,66	0,74
500—200	0,14—1,80	0,68

Как видно из табл. 3, наибольшее количество органического вещества в осадках Норвежского моря меньше, чем в осадках шельфовых морей, а в среднем содержание его близко к содержанию органического вещества в Северном Каспии, где наибольшая часть площади занята грубозернистыми осадками.

Причины, обусловливающие такое накопление, разнообразны. В береговую зону органического вещества, как правило, поступает больше, чем в места, удаленные от берегов, но ввиду малых глубин и сильных течений здесь осаждаются более грубые осадки, а органическое вещество, адсорбирующееся глинистыми частицами, переносится в более глубокие, затишные зоны, где залегают, как правило, более гонкозернистые осадки.

Прямая зависимость между количеством органического вещества и содержанием частиц меньше 0,01 мм наблюдается и в шельфовой зоне Норвежского моря. Глубоководная часть Норвежского моря обогащается органическим веществом в меньшей степени, чем шельфовые осадки, так как органическое вещество накапливается здесь главным образом в результате отмирания планктонных организмов, о чем свидетельствует и отношение С/Н, равное примерно 6. При наличии глубин более 3000 м органическое вещество большей частью растворяется еще в толще воды, а в грунт захоранивается малая часть, поэтому в глинистых илах глубоководной части Норвежского моря содержится меньше органического вещества, чем в илистых грунтах более мелководных районов, например ст. 1240 (вблизи Ян-Майена), ст. 1071 (вблизи Исландии) или ст. 1752 и 1401 (вблизи Норвегии).

Органогенная часть осадков Норвежского моря состоит преимущественно из известковых фораминифер, в которых известковый скелет несравненно больше, чем органическая часть. В результате медлен-

ного погружения фораминифер на глубины свыше 3000 м большая часть органического вещества разлагается, не достигнув дна моря.

Подобный процесс накопления органического вещества в глубоководных водоемах характерен для осадков Охотского [2], Берингова [16], Японского [6] морей и Полярного бассейна [13]. В этих морях так же, как и в Норвежском, органическое вещество в осадках шельфовой и пришельфовой зоны накапливается в большем количестве, чем в осадках самых глубоководных впадин.

По мнению ряда исследователей, осадки глубоководных впадин обедняются потому, что органическое вещество диатомовых водорослей, играющих главную роль в накоплении осадков дальневосточных морей, успевает разрушиться прежде, чем диатомовые водоросли достигнут дна моря.

Чтобы проследить условия накопления органического вещества в осадках более древних отложений, мы проанализировали различные слои осадков с 90 станций. Для всех этих осадков определено CO_2 , перечисленное на CaCO_3 . Часть полученных результатов приведена в табл. 4.

Из табл. 4 видно, что в подстилающих слоях органического вещества в осадках очень немного и накапливалось оно в разных участках моря по-разному. Такое же незначительное количество органического вещества в подстилающих осадках характерно для дальневосточных морей [4] и северной части Тихого океана [9, 16], причем слои, богатые органическим веществом, чередуются с обедненными.

По мнению О. К. Бордовского, Т. И. Горшковой, Е. А. Романкевича и др., осадки обогащались органическим веществом в межледниковые более теплые периоды, а обеднялись в ледниковые холодные периоды со слабым развитием диатомовых водорослей.

Согласно нашим материалам и литературным данным [3, 11, 17, 18], Норвежское и Гренландское моря также отличаются сменой осадков, обогащенных и обедненных фораминиферами, что связано с увеличением и уменьшением проникновения в Норвежско-Гренландский бассейн теплых атлантических вод.

Как известно [1], теплые атлантические воды проникают в Норвежское море в его восточной части, главным образом через Фареро-Шетландский пролив и направляются на северо-восток Норвежского моря, откуда часть их проходит в Баренцево море, часть — на север в Гренландское море и часть направляется на запад. Западная ветвь под напором Восточно-Гренландского течения частично отклоняется на юг.

Благодаря такому распределению водных масс накопление карбонатов в донных осадках за счет отмерших фораминифер происходит в западной части Норвежского моря главным образом в районе конвергенции атлантических и арктических вод [19, 11].

Как видно из табл. 3, в осадках, залегающих в районе Норвежского шельфа (ст. 1752, 1401, 1809), органическое вещество содержится в значительном количестве не только в верхнем слое осадков, но и в нижележащих слоях, причем наблюдается постепенное уменьшение его от верхних слоев к нижним. Количество карбонатов во всех этих осадках колеблется от 26 до 12%.

Осадки, залегающие в западной части Норвежского моря (ст. 1214, 1235) в области холодного Гренландского течения, отличаются незначительным содержанием фораминифер и очень малым содержанием органического вещества во всех слоях колонок, длина которых достигает 3 м и более.

Таблица 4

Номер станции	Глубина в м	Толщина слоя в см	Содержание в %			Осадки
			CaCO_3 , вычисленного по CO_2	углерода органического	фракции меньше 0,01 мм	
1401	755	0—5	26,04	1,66	48,7	Серый ил
		108—111	26,04	1,25	—	» »
		255—259	22,95	1,12	—	» »
1752	390	0—3	19,45	1,80	—	Желтоватый ил
		10—13	20,54	1,57	77,11	Зеленовато-серый глинистый ил с черными прослойками
		110—130	22,20	1,27	95,54	Коричневый и зеленовато-серый глинистый ил с черными прослойками
1809	303	166—167	20,8	1,19	—	Зеленовато-серый глинистый ил с черными прослойками
		0—2	20,25	1,52	—	Коричневый ил
		12—24	23,27	1,24	80,87	Зеленовато-серый глинистый ил с черными прослойками
1235	1600	58—75	18,4	0,79	85,29	Серый глинистый ил с черными прослойками
		0—2	12,1	0,69	45,59	Коричневый ил с фораминиферами
		48—50	11,0	0,25	31,84	» »
1240	1360	98—100	7,0	0,20	28,21	Коричневый песчанистый ил
		203—205	5,6	0,29	36,76	Коричневый ил
		254—257	14,8	0,19	37,16	Коричневый ил с фораминиферами
1376	1817	324—327	12,4	0,20	22,73	Коричневый песчанистый ил
		0—4	4,4	1,74	53,88	Коричневый глинистый ил
		50—51	0,81	0,48	43,27	Зеленовато-серый ил
1049	435	95—97	9,72	0,32	—	Коричневый ил с фораминиферами
		162—167	4,4	0,21	24,19	Песчанистый ил с фораминиферами
		238—240	4,16	0,32	51,53	Глинистый ил
1055	1565	0—5	49,09	0,40	—	Коричневый ил с фораминиферами
		15—18	16,7	0,34	60,10	Коричневая комковатая глина с фораминиферами
		100—102	8,4	0,25	61,72	Коричневый глинистый ил
1061	4550	146—147	14,0	0,36	61,66	» »
		155—160	45,0	0,29	33,20	Ил с фораминиферами
		283—286	4,0	0,20	70,64	Коричневый глинистый ил
1061	4550	0—2	20,7	0,74	49,6	Серый ил с фораминиферами
		23—25	11,6	0,34	—	Зеленовато-серый ил
		85—86	6,4	0,56	—	Зеленовато-серый ил с черными прослойками
1061	4550	238—239	11,4	0,66	—	Зеленовато-серый ил
		0—2	44,0	0,81	66,3	Коричневый глинистый ил с фораминиферами
		33—36	13,3	0,77	—	Зеленовато-серый ил
1061	4550	49—50	14,2	0,97	—	» » »
		100—102	8,6	0,81	—	» » »
		146—148	9,0	0,52	—	Зеленовато-серый ил с черными прослойками
1061	4550	312—315	21,8	0,75	—	Зеленовато-серый ил
		14—17	54,2	0,65	—	Коричневый глинистый ил с фораминиферами
		22—25	6,4	0,03	—	Коричневый глинистый ил
1061	4550	34—37	77,2	0,71	—	Белый ил с фораминиферами
		80—83	9,2	0,13	—	Коричневый глинистый ил
		93—96	15,4	0,58	—	Зеленовато-серая глина
		195—198	13,0	1,01	—	» » »

Продолжение табл. 4

Номер станции	Глубина в м	Толщина слоя в см	Содержание в %			Осадки
			CaCO ₃ , вычисленного по CO ₂	углерода органического	фракции меньше 0,01 мм	
1066	3100	0—5	51,8	0,57	48,41	Коричневый ил с фораминиферами
		12—15	46,8	0,62	53,54	» » »
		18—20	8,3	0,39	43,47	Коричневый ил
		55—57	13,6	0,22	45,97	Коричневый ил с фораминиферами
		100—104	8,1	0,17	—	» » »
		150—155	17,2	0,23	40,84	» » »
		215—222	10,9	0,46	49,42	Коричневый ил
1069	780	0—2	20,1	0,63	53,4	Коричневый глинистый ил с фораминиферами
		6—9	7,9	0,23	—	Зеленовато-серый песчанистый ил с фораминиферами
		12—15	17,5	0,84	—	То же
		39—42	14,3	0,44	—	»
		59—62	10,3	0,07	—	Коричневый глинистый ил с фораминиферами
		184—186	5,6	0,21	—	То же
		240—243	16,0	0,37	—	Зеленовато-серый ил
1071	1050	338—340	5,3	0,45	—	Зеленовато-серая комковатая глина
		Верх	2,0	1,55	31,2	Коричневый ил
		91—102	3,2	1,09	—	Зеленовато-серый ил
		199—201	3,3	0,98	—	» »
		318—320	3,7	0,63	—	» »
1108	295	0—2	22,7	0,65	17,3	Зеленовато-серый песчанистый ил с фораминиферами
		17—19	26,9	0,63	—	Зеленовато-серый песчанистый ил с ракушкой
		57—59	16,3	0,58	—	Зеленовато-серый ил
		131—133	12,9	0,54	—	Зеленовато-серый вязкий ил
		155—157	15,1	0,56	—	Зеленовато-серый ил
		248—250	14,8	0,69	—	» »
		0—5	37,5	0,79	66,67	Коричневый глинистый ил с фораминиферами
1124	2345	20—27	32,0	0,42	—	То же
		90—95	15,5	0,26	47,88	Коричневый ил с фораминиферами
		102—107	20,5	0,78	—	» » »
		115—120	10,4	0,28	45,40	Коричневый ил с фораминиферами (мало)
		165—167	7,2	0,50	43,63	Коричневый ил
		175—177	12,5	0,35	48,08	Коричневый ил с фораминиферами
		190—192	16,0	0,21	56,25	» » »
1214	805	192—197	11,4	0,23	32,80	Коричневый ил
		0—5	1,2	0,31	45,51	Серый ил
		12—15	4,0	0,10	—	Зеленовато-серая глина
		50—57	3,7	0,25	—	Зеленовато-серый песчанистый ил
		96—116	9,5	0,33	63,23	Зеленовато-серый глинистый ил с фораминиферами
		170	4,1	0,23	—	Зеленовато-серый ил
		178—186	6,3	0,42	77,61	Коричневый глинистый ил
1251	3430	232—235	3,8	0,24	47,36	Серый ил
		300—305	2,2	0,20	63,52	Пористый глинистый ил
		0—5	40,0	0,58	61,5	Коричневый глинистый ил с фораминиферами
		30—32	18,4	0,60	33,5	Коричневый ил с фораминиферами
		42	24,0	0,17	—	Песок с фораминиферами
		58—60	8,2	0,55	40,67	Ил
		77—80	21,5	0,80	41,09	Коричневый ил с фораминиферами

Продолжение табл. 4

Номер станиции	Глубина в м	Толщина слоя в см	Содержание в %			Осадки
			CaCO ₃ , вычисленного по CO ₂	углерода органического	фракции меньше 0,01 мм	
1251	3430	91—94	7,3	0,31	33,13	Красный глинистый ил
		122—125	17,9	0,69	43,27	Коричневый ил
		158—160	7,8	0,26	—	» »
		190—196	8,0	0,36	—	» »
		268—271	10,4	0,53	42,0	» »
1255	3325	0—2	49,8	1,14	73,16	Коричневый глинистый ил с фораминиферами
		38—41	32,07	0,66	46,72	Коричневый ил с фораминиферами
		48—50	6,9	0,41	84,31	Слоистая глина
		100—102	6,2	0,20	53,90	Коричневый глинистый ил
		210—212	21,5	0,23	65,87	Коричневый глинистый ил с фораминиферами
1711	3730	258—260	18,3	0,17	71,77	Коричневая плотная глина
		0—2	54,79	0,56	55,51	Коричневый глинистый ил с фораминиферами
		36—38	8,84	0,27	39,36	Коричневый ил
		56—76	8,86	0,28	27,76	Зеленовато-серый песчанистый ил
		91—95	56,9	0,33	70,50	Белая прослойка
1767	855	202—222	16,81	0,62	55,80	Коричневый глинистый ил
		278—281	9,04	0,30	60,66	» » »
		0—2	1,29	1,19	18,4	Песчанистый ил
		13—16	0,82	1,13	—	Зеленовато-серый ил
		31—51	1,72	0,88	48,39	» »
1998	3215	145—147	4,84	0,30	43,52	» »
		205—209	1,57	0,06	58,99	Коричневый глинистый ил
		225—240	1,93	0,14	56,08	» »
		251—254	2,00	0,16	3,5	Песок (черное стекло)
		0—4	63,6	0,62	55,79	Коричневый глинистый ил с фораминиферами
2130	3320	55—58	28,45	0,45	40,00	Серый ил
		73—78	12,48	0,25	46,98	То же
		100—105	8,43	0,25	—	» »
		190—193	0,63	0,65	47,31	» »
		0—4	41,9	0,77	50,36	Коричневый глинистый ил с фораминиферами
2136	3210	44—47	21,07	0,58	32,27	Беловатый ил
		77—79	10,64	0,38	39,69	Серый ил
		122—124	3,68	0,31	—	» »
		160—163	13,38	0,37	39,08	» »
		200—202	5,91	0,21	—	» »
2143	940	287—290	9,77	0,74	—	» »
		0—2	7,70	0,69	35,65	Ил
		9—12	2,98	0,33	41,87	Слоистый ил
		105—108	1,48	1,25	18,76	Коричневый песчанистый ил с фораминиферами
		236—239	12,09	0,79	26,71	То же
		0—2	—	—	39,37	Песчанистый ил с иглами губок
		9—12	—	—	—	Коричневый илистый песок
		105—108	—	—	—	Глинистый ил
		236—239	—	—	—	Вязкий ил

Подобная картина наблюдается и в мелководье около Исландии (ст. 1767 и 1071).

Наиболее резкими изменениями содержания карбонатов в различных слоях колонок характеризуются осадки, залегающие в зонах конвергенции антарктических и арктических вод (ст. 1061, 1066, 1069, 1124, 1251). В осадках этих станций повышенное количество карбонатов, помимо верхнего слоя, обнаруживается в нескольких подстилающих слоях, которые чередуются со слоями, обедненными карбонатами.

Повышенное количество органического вещества, как правило, совпадает с повышенным количеством карбонатов и уменьшается при уменьшении карбонатов. Следовательно, можно считать, что в Норвежском море так же, как и в морях Дальнего Востока, в периоды проникновения теплых атлантических вод органическое вещество в осадках накапливалось усиленно, а в периоды похолодания — замедленно.

Чтобы познакомиться ближе с природой органического вещества осадков Норвежского моря, мы провели определение битуминозных веществ путем люминесцентного анализа.

Для сравнения такие же определения провели для осадков Азовского, Карского, Балтийского и Чукотского морей. Полученные результаты приведены в табл. 5.

Из всех образцов, указанных в табл. 5, были сделаны хлороформовые вытяжки на ленточки фильтровальной бумаги, проведена классификация по свечению битумов под люминесцентной лампой на группы и указано ориентировочное процентное содержание битумов.

Почти все осадки Норвежского моря имеют голубоватое свечение битума легких масел с небольшим процентным содержанием их. Только в нескольких осадках верхнего слоя (ст. 1049, 1055, 1354, 1751 и 1108) обнаружен легкий битум, чуть осмоленный.

Осадки Балтийского моря и Рижского залива характеризуются наличием среднего битума, дающего желтоватое свечение, свойственное смолам и маслам.

В осадках Курского залива содержатся тяжелые битумы, дающие бурое свечение, характерное для асфальтенов. При анализе торфяника Балтийского моря обнаружено органическое вещество растительного происхождения, дающее ярко-красное свечение.

Из приведенных в табл. 5 данных видно, что если в осадках содержится большое количество органических веществ растительного происхождения, как например в осадках Курского залива, то они характеризуются наличием тяжелых битумов.

Если же органического вещества много и оно состоит из растительных остатков и органического вещества планктонного происхождения, то осадки характеризуются наличием среднего битума. Такими, по всей вероятности, являются осадки Балтийского моря.

Органическое вещество осадков Норвежского моря образуется, по-видимому, в основном из отмершего планктона и бентоса, а потому в состав его входит легкий битум. Примеси растительных остатков сказываются только в осадках, залегающих близ берегов Норвегии (ст. 1751, 1108, 1049, 1055 и 1354).

Несмотря на незначительное содержание битума в осадках, отчетливо видно преобладание его в песчанистых осадках. Процент битума от общего количества органического вещества в песчанистых осадках больше, чем в илах и глинистых илах. Подобная картина накопления битума была обнаружена О. К. Бордовским в осадках Берингова моря [4], а нами в осадках Каспийского моря [8].

Таблица 5

Море	Номер станции	Толщина слоя в см	% битума	Группа битума	Количество органического углерода в %	Осадки
Норвежское	1066	0—5	Следы	—	0,57	Светло-коричневый ил с фораминиферами
		100—104	$2,5 \cdot 10^{-4}$	Легкий	0,17	То же
		150—155	$2,5 \cdot 10^{-4}$	»	0,23	»
		215—222	$2,5 \cdot 10^{-4}$	»	0,46	»
	1108	Верхний слой из дно-черпателья	$4,0 \cdot 10^{-3}$	Легкий, чуть осмоленный	0,65	Зеленовато-серый ил с фораминиферами
	1124	155—157	$2,0 \cdot 10^{-3}$	Легкий	0,56	Зеленовато-серый ил
		20—27	$5,0 \cdot 10^{-4}$	»	0,79	Светло-коричневый глинистый ил с фораминиферами
		165—168	$1,0 \cdot 10^{-4}$	»	0,50	Коричневый ил
		175—177	Следы	—	0,35	Коричневый ил с фораминиферами
	1214	192—197	$1,0 \cdot 10^{-3}$	Легкий	0,23	Коричневый ил
		0—5	Следы	—	0,31	Светло-коричневый ил
		50—57	$2,0 \cdot 10^{-3}$	Легкий	0,25	Зеленовато-серый песчанистый ил
		96—116	$5,0 \cdot 10^{-4}$	»	0,33	Зеленовато-серый глинистый ил
		300—305	$5,0 \cdot 10^{-4}$	»	0,20	Глинистый ил
	1251	42—48	$4,0 \cdot 10^{-3}$	»	0,17	Песок
		122—125	$2,5 \cdot 10^{-4}$	»	0,69	Коричневый ил
	1708	23—41	$5,0 \cdot 10^{-4}$	»	0,44	Коричневый глинистый ил
		119—139	$2,5 \cdot 10^{-4}$	»	0,73	Серый глинистый ил
		261—274	Следы	—	0,25	Серый песчанистый ил
	1711	8—16	$5,0 \cdot 10^{-4}$	Легкий	0,56	Коричневый глинистый ил
		56—76	$2,0 \cdot 10^{-3}$	»	0,28	Зеленовато-серый песчанистый ил
		201—222	$2,5 \cdot 10^{-4}$	»	0,62	Коричневый глинистый ил
		Верх	$4,0 \cdot 10^{-3}$	Легкий, чуть осмоленный	0,36	Серый песчанистый ил
	1049	Верх	$2,5 \cdot 10^{-4}$	То же	0,74	Ил
	1055	45—50	$2,5 \cdot 10^{-4}$	»	0,97	»
	1354	Верх	$4,0 \cdot 10^{-3}$	Больше смол, меньше масел	легких	
	1752	110—130	$2,5 \cdot 10^{-4}$	Легкий	1,27	Зеленовато-серый глинистый ил с черными пятнами
	1771	55—75	$1,0 \cdot 10^{-3}$	»	0,24	Зеленовато-серый ил
	1772	216—236	$2,0 \cdot 10^{-3}$	»	0,40	Серый глинистый ил
	1797	20—37	$2,0 \cdot 10^{-3}$	»	0,21	Зеленовато-серый глинистый ил
		110—124	$8,0 \cdot 10^{-3}$	»	0,31	Зеленовато-серый ил
		232—251	$4,0 \cdot 10^{-3}$	»	0,40	»

Продолжение табл. 5

Море	Номер станции	Толщина слоя в см	% битума	Группа битума	Количество органического углерода в %	Осадки
Норвежское	1809	12—24	$2,5 \cdot 10^{-4}$	Легкий	1,24	Черный глинистый ил
		58—75	$1,0 \cdot 10^{-3}$	»	0,79	Серый глинистый ил
		184—198	$5,0 \cdot 10^{-4}$	»	0,70	Серый глинистый ил с черными пятнами
Азовское	1641/9	Верх	$2,5 \cdot 10^{-4}$	Тяжелый	1,57	Зеленовато-серый ил
	164/2	30—34	$2,0 \cdot 10^{-3}$	Средний	1,95	»
Карское	17	0—2	$1,6 \cdot 10^{-2}$	Легкий с примесью смол	0,69	Коричневый песчанистый ил
		42	$5,0 \cdot 10^{-4}$ $10-13$	Легкий	1,22 0,93	»
Чукотское	11	Верх	$2,5 \cdot 10^{-4}$	Средний	1,50	Зеленовато-серый ил
		23	$2,5 \cdot 10^{-4}$	»	1,00	Зеленовато-серый песчанистый ил
Восточно-Сибирское	36	18—20	$2,0 \cdot 10^{-3}$	Легкий	0,65	То же
		Верх	$10 \cdot 10^{-3}$	»	0,70	»
Балтийское	15	1—20	$8,0 \cdot 10^{-3}$	Средний	2,31	Черный глинистый ил
		115—120	$2,0 \cdot 10^{-3}$	»	2,07	»
	55	0—8	$2,0 \cdot 10^{-3}$	»	4,07	»
		35—50	$1,0 \cdot 10^{-3}$	»	3,79	»
		100—104	$8,0 \cdot 10^{-3}$	»	4,37	»
Рижский залив	121	2—5	$5,0 \cdot 10^{-1}$	»	3,41	Зеленовато-серый глинистый ил с черными пятнами
		60—65	$1,62 \cdot 10^{-2}$	»	3,07	То же
Курский залив	10	130—136	$6,24 \cdot 10^{-2}$	»	3,05	»
		Средняя проба	$8,0 \cdot 10^{-3}$	Тяжелый	4,14	Зеленовато-серый песчанистый ил с черными пятнами
Балтийское	19	То же Торфянник	$1,62 \cdot 10^{-2}$	Тяжелый Органика	6,09	Песчанистый ил
			—		—	—

ВЫВОДЫ

1. Норвежское море характеризуется наличием мелководья с глубинами до 500 м вдоль побережья Норвегии и всех островов. Далее до глубин 3000 м располагается склон, крутизна которого различна в разных участках моря. На дне глубоководной впадины Норвежского моря имеются участки с глубиной больше 3500 м и повышенные участки с глубиной меньше 3000 м, имеющие почти меридиональное направление. Кроме того, в разных местах обнаружены подводные возвышенности, по всей вероятности, вулканического происхождения [5].

2. Механический состав осадков обусловлен рельефом дна и течениями, поэтому вдоль берегов Норвегии и всех островов залегают грубоозернистые осадки, содержащие много песка, камней, ракушечника, игол губок и песчаных фораминифер. По направлению к большим глубинам залегают илистые пески и песчанистые илы, а затем идет ил и глинистый ил. На повышенных участках с глубинами меньше 3000 м, расположенных в центре глубоководной впадины, также залегают илы.

3. Цвет прибрежных осадков зеленовато-серый, серый и коричневато-серый. Илистые осадки глубоководной части Норвежского моря отличаются наличием известковых фораминифер, количество которых зависит от рельефа дна и течений. Наибольшее количество карбонатов обнаружено в зонах конвергенции атлантических и арктических вод [11].

4. Органического вещества в осадках Норвежского моря меньше, чем в осадках шельфовых морей, поэтому наибольшее количество органического углерода составляет всего 1,8%, тогда как в Баренцевом море оно достигает 3,12% [10]. Причинами, определяющими накопление органического вещества в Норвежском море, являются глубина залегания осадков, расстояние от берега, механический состав осадков, их возраст, рельеф дна и характер водных масс.

5. Близость берега, как и в других морях, способствует накоплению органического вещества, причем этот процесс находится в прямой зависимости от содержания фракции меньше 0,01 мм. В глубоководных впадинах, несмотря на тонкозернистые осадки, значительного накопления органического вещества в осадках не происходит в связи с тем, что органическое вещество отмерших организмов в значительной своей части растворяется еще в толще воды, а на дно поступает лишь незначительная его часть. Кроме того, большое количество карбонатов сильно снижает содержание органического углерода.

6. Люминесцентно-битуминологический анализ осадков различных морей показал, что осадки Норвежского моря характеризуются наличием легких битумов, свойственных легким маслам.

Органическое вещество осадков Курского залива обогащено тяжелым битумом, а Балтийского и Азовского морей — средним битумом.

7. В Курском заливе органическое вещество осадков образуется главным образом за счет растительных остатков (сине-зеленых водорослей и макрофитов), а в Балтийском и Азовском морях — за счет растительных и животных остатков (фито- и зоопланктон).

Органическое вещество осадков Норвежского моря ближе к осадкам Балтийского и Азовского морей. Накопление его происходит за счет отмирания бентоса и планктона, а также за счет органических веществ глинистых частиц, адсорбирующих органическое вещество, растворенное в воде, и переносимых как течением, так и плавающими льдами. О таком характере органического вещества свидетельствует соотношение С/Н и данные люминесцентного анализа.

ИСПОЛЬЗОВАННАЯ ЛИТЕРАТУРА

1. Алексеев А. П. и Истошин Б. В. Уточненная схема течений Норвежского и Гренландского морей. Труды ПИНРО. Вып. IX. Пищепромиздат. 1956.
2. Безруков П. Л. Донные отложения Охотского моря. Труды Института океанологии АН СССР. Т. XXXII. 1960.
3. Белов Н. А. и Лапина Н. Н. Предварительные данные о строении современных донных осадков северной части Гренландского моря. Информационный бюллетень Института геологии Арктики. Изд-во НИИГА. Вып. 3. 1957.
4. Бордовский О. К. Органическое вещество современных осадков Берингова моря. Труды Института океанографии АН СССР. Т. XLII. 1960.
5. Виноградова П. С. и Литвин В. М. Исследования рельефа дна и грунтов в Баренцевом и Норвежском морях. Сб. ВНИРО и ПИНРО. «Советские рыболово-промышленные исследования в морях европейского севера». Изд-во журнала «Рыбное хозяйство». 1960.
6. Гершанович Д. Е. Кремнекислота, карбонат кальция и органический углерод в глубоководных отложениях Японского моря. Труды ГОИНа. Вып. 31(43). Гидрометеоиздат. 1956.
7. Горшкова Т. И. Некоторые данные по химическому составу осадков Гренландского моря. Сб. в честь акад. В. И. Вернадского. АН СССР. 1936.
8. Горшкова Т. И. Исследование дегрита в воде и грунте северной части Каспийского моря. Сб. памяти А. Д. Архангельского. АН СССР. 1951.

9. Горшкова Т. И. О происхождении осадков северной части Тихого океана. «Исследования дальневосточных морей СССР». Вып. III. Изд-во АН СССР. 1952.
10. Горшкова Т. И. Органическое вещество и карбонаты в осадках Баренцева моря. Труды ПИНРО. Вып. X. Пищепромиздат. 1957.
11. Горшкова Т. И. Осадки Норвежского моря. Сб. докладов советских геологов «Морская геология». АН СССР. 1960.
12. Горшкова Т. И. Инструкция по определению углекислоты карбонатов, органического углерода и общего азота в морских осадках. Изд-во журнала «Рыбное хозяйство». 1958.
13. Горшкова Т. И. Донные отложения западной части Полярного бассейна. Сб. ВНИРО и ПИНРО. Изд-во журнала «Рыбное хозяйство». 1960.
14. Кленова М. В. и Авилов И. К. Инструкция по механическому анализу. Инструкции ГОИНа. № 8. 1933.
15. Лисицын А. Н. Донные отложения Берингова моря. Труды Института океанологии АН СССР. Т. XXIX. 1959.
16. Романкевич Е. А. Органическое вещество в колонках донных отложений северо-западной части Тихого океана. ДАН СССР. Т. 16. № 3. 1957.
17. Holtedahl H. On the Norwegian continental terrace, primarily outside Møgeman-Romsdal; its geomorphology and sediments. Universitetet i Bergen Arbok. Naturvitenskapelig rekke. Nr 14. 1955.
18. Holtedahl H. Geology and paleontology of Norwegian Sea bottom cores. Journal of Sedimentary Petrology for March. 1959.
19. Schmelck L. On oceanic deposits. The Norwegian North—Atlantic Expedition 1876—1878. Chemistry Christiania. 1882.